

تقييم الأداء الزلزالي لمشفى القطيفة الوطني باستخدام التحليل динاميكي المتزايد

علي محمد فتحي الرواس^{1*} ريم سلمان الصحاوي²

^{1*}. طالب ماجستير، مهندس، قسم الهندسة الإنشائية الزلزالية، جامعة دمشق، المعهد العالي للبحوث والدراسات الزلزالية.

ali.arw@damascusuniversity.edu.sy

². مدرسة، دكتورة، مهندسة قسم الهندسة الإنشائية الزلزالية، جامعة دمشق، المعهد العالي للبحوث والدراسات الزلزالية . Reem1.salman@damascussuniversity.edu.syd

الملخص:

تعتبر دراسة تقييم سلامة المنشآت الصحية أمراً ضرورياً خاصة بحالة التعرض للكوارث كالزلازل، فمن اللازم ضمان سلامة وقابلية التشغيل للمشافي بعد حدوث الزلازل. تساعد منحنيات الهشاشة بتقييم الأداء злزالي المتوقع للبناء وتقييم الخسائر مما يساعد المختصين بوضع خطط للطوارئ لاحقاً. تم في هذا البحث تقييم الأداء злзали لمشفى القطيفة الوطني المصمم زلزالياً وفقاً للكود العربي السوري وذلك بإجراء تحليل ديناميكي متزايد لإيجاد منحنيات الهشاشة للعناصر المكونة للجملة الإنسانية للمشفى، كما تم تقييم أداء البناء على الشدة الموافقة للزلازل التصميمي للتحقق من الوصول إلى مستوى الأشغال المباشر، وعلى الشدة الموافقة للزلازل الأعظمي الاعتباري للتحقق من الوصول إلى مستوى أمان الحياة. من النتائج التي توصلت إليها الدراسة أنه على الرغم من أن المبني المدروس يحقق المتطلبات العامة لنسب الانزياحات المطلوبة إلا أن بعض العناصر الإنسانية كالجداران المحكمة بالقص والأعمدة والجوازات المكونة لإطار الواجهة لم تحقق مستوى الأداء المطلوب. كما أظهرت النتائج أن التحليل динاميكي المتزايد يقدم رؤية أفضل للأداء злزالي المتوقع للعناصر الإنسانية لا تقدمها طرق التحليل الأخرى.

الكلمات المفتاحية: الخطير زلزالي، التصميم злзали المبني على الأداء، التحليل динاميكي المتزايد، منحنيات الهشاشة، هشاشة الانهيار.

تاريخ الإيداع: 2024/10/11

تاريخ القبول: 2025/3/12



حقوق النشر: جامعة دمشق - سوريا، يحتفظ المؤلفون بحقوق

النشر بموجب CC BY-NC-SA

Seismic Performance Assessment of Alqutiefeh Hospital Using Incremental Dynamic Analysis

**Ali Mohamad Fathi ALRAWAS^{*1} Reem Salman
ALSEHNAWI²**

^{*1}. Master Student in Department of Seismic Structural Engineering, University of Damascus, Higher Institute of Earthquake Studies & Research, Damascus, Syria
ali.arw@damascusuniversity.edu.sy

². Assistant Professor in Department of Seismic Structural Engineering, University of Damascus, Higher Institute of Earthquake Studies & Research, Damascus, Syria
Reem1.salman@damascussuniversity.edu.sy

Abstract:

The study of assessing the safety of health facilities is essential, especially in the case of exposure to disasters such as earthquakes. It is necessary to ensure the safety and operability of hospitals after earthquakes. Fragility curves help in assessing the expected seismic performance of the building and evaluating losses, which helps specialists develop emergency plans later. In this research, the seismic performance of Al-Qatifah National Hospital, which was designed seismically according to the Syrian Building Code, was evaluated by conducting an incremental dynamic analysis for developing the fragility curves for the structural elements, then evaluating the building's performance on the intensity corresponding to the design earthquake to verify reaching the immediate occupancy level, and on the intensity corresponding to the maximum considered earthquake to verify reaching the life safety level. the results show that although the studied building meets the general requirements for the acceptable drift ratios, some structural elements (such as shear-controlled walls, columns and beams forming the facade frame) did not achieve the required performance level. The results also showed that the incremental dynamic analysis provides a better view of the expected seismic performance of structural elements than other analysis methods.

Key words: Seismic Hazard, Performance-Based Seismic Design, Incremental Dynamic Analysis, Fragility Curves, Collapse Fragility.

Received: 11/10/2024
Accepted: 12/3/2025



Copyright: Damascus University- Syria, The authors retain the copyright under a CC BY- NC-SA

الرغم من أن التصميم وفقاً للطريقة الإستاتيكية المكافحة يعُد بشكل ضمني أن مستوى الأداء يوافق أمان الحياة Life Safety System للشدة الموافقة للزلزال التصميمي للمبني ذات صنف الاشغال I و II. لكن بالنسبة للمبني المهمة لا يمكن دائمأً ضمان الوصول لمستوى الأداء المطلوب عن طريق تتعزيز قيمة القص القاعدي، يوضح الجدول (1) مستويات الأداء المطلوب تحقيقها للمنشآت الهامة ذات صنف اشغال IV كالمشافي التي تحتوي على مرفاق جراحية على مستويات الشدة الثلاث. ويجدر الذكر بأنه من غير الممكن لشروط إقتصادية ولحالة الأبنية غير المعزولة قاعدياً جعل مستوى أداء البناء تحت الشدة الموافقة للزلزال للأعظمي يواافق مستوى الإشغال المباشر.

قام الباحث Bilgin (2015) بإيجاد منحنيات الهشاشة لثلاث مشافي بيتونية مسلحة غير مصممة لتلبی اشتراطات المطاوعة بشكل جيد ضمن تركيا، حيث درس أثر مقاومة مواد البناء وجودة تنفيذ اشتراطات المطاوعة على قيم الهشاشة وذلك بإجراء سلسلة من التحاليل الديناميكية اللاخطية على جملة وحيدة درجة الحرية مكافئة للبناء. لاحظ الباحث عدم وجود تأثير لإختلاف المقاومة والمطاوعة على احتمال الوصول لمستوى الإشغال المباشر، لكن بحالة مستوى أداء منع الانهيار يصبح الفرق أكبر (Bilgin, 2015). كما قام Nazari (2017) بإيجاد هشاشة الانهيار لعدة أبنية بيتونية مسلحة افتراضية، الجملة المقاومة للأحمال الجانبية هي جملة جدران قص مصممة وفق الكود الكندي على فترات مختلفة. تم دراسة أثر فترة التشييد ووجود حالات عدم انتظام رأسية وبالمستوي على هشاشة الانهيار وذلك باختلاف عدد الطوابق. لاحظ الباحث بالنسبة للأبنية المصممة وفق الكود الحديث كان احتمال الانهيار أقل من مثيلاتها المصممة وفقاً للكود الاقمي

المقدمة:

الرواس، الصحاوي

العربي السوري المتعلقة بالأحمال الزلزالية. على الرغم من تصميم بعض المراكز الصحية لمقاومة الأحمال الجانبية بالطائق التقليدية مثل الطرائق статистическая الخطية إلا أنها خرجت عن العمل عند وقوع الزلازل أو لم تحقق مستوى الأداء المرغوب به. على الرغم من ذلك، لا يوجد أي دراسات سابقة لتقدير الأداء الزلزالي لأبنية هامة مصممة وفقاً للكود العربي السوري. وبالتالي يهدف البحث إلى تقييم الأداء الزلزالي للأبنية البيوتونية المسلحة باستخدام منحنيات الهشاشة لمشفى القطيفة الوطني وفق النقاط التالية:

- تقييم الأداء الزلزالي للبناء المدروس على الشدة الموافقة للزلزال التصميمي، والتحقق من الوصول إلى مستوى الإشغال المباشر.
- تقييم الأداء الزلزالي للبناء المدروس على الشدة الموافقة للزلزال الأعظمي الاعتيادي وفقاً للكود العربي السوري، والتحقق من الوصول إلى مستوى أمان الحياة.
- إيجاد منحنيات الهشاشة عن طريق إجراء تحليل ديناميكي متزايد، وتقييم هشاشة الانهيار للمكونات الانشائية للبناء.

2-تابع الهشاشة:

يعبر تابع الهشاشة عن احتمال الانهيار أو الوصول إلى أي مستوى أداء أو حالة ضرر كتابع لشدة الحركة الأرضية (Baker, 2015). غالباً ما تستخدم قيمة ذروة تسارع الحركة الأرضية (PGA) أو تسارع Peak Ground Acceleration (PGA) التي تختلف 5% عند دور يوافق النمط الاستجابة الطيفي ذو تخادم $S_a(T_1)$. كمقاييس لشدة المسيدير للمنشأ (IM)، يتم التعبير رياضياً عن تابع IM (Intensity Measure) باستخدام التوزيع الطبيعي اللوغاريتمي لعدة أسباب منها أنه يوافق نتائج دراسات وملاحظات تجريبية (Porter, 2021)، ولا يتطلب إلا معرفة قيمتين هما الوسيط والانحراف المعياري β, θ على التوالي، ويتحدد وفق المعادلة (1).

تقييم الأداء الزلزالي لمشفى القطيفة الوطنية (Nazari, 2017). قام كلًا من Shang وآخرون (2020) باقتراح إجراء لتقييم الرجوعية للمشافي، حيث تم تقسيم أنظمة البنى حسب الوظيفة والأهمية واقتراح وزن مناسب لكل مكون. بين الباحث أنه بسبب نقص وعدم القدرة على تكميم المؤشرات التي تصف الفعالية Functionality، يمكن تقييم خسارة الفعالية للمشفى عن طريق الخسائر الاقتصادية (Shang et al., 2020). محلياً قام زيد (2018) بتقييم السلوك الزلزالي للأبنية البيوتونية المسلحة منخفضة الارتفاع المصممة على الأحمال الشاقولية لأبنية قائمة في مدينة دمشق باستخدام التحليل статистي الالخطي النمطي، وجد الباحث أن مستوى الأداء للأبنية المدرosa تحت الشدة الموافقة للزلزال التصميمي يتجاوز مستوى منع الانهيار (زيد، 2018).

الجدول (1) مستويات الأداء الواجب تحقيقها للمبني ذات صنف الإشغال

IV

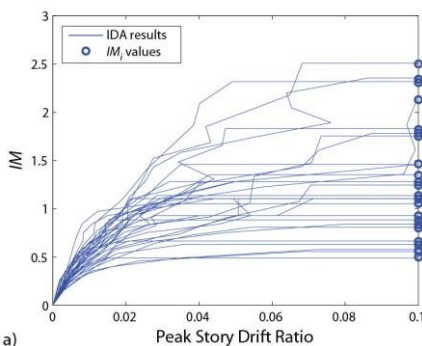
مستوى الشدة	زمن العودة	مستوى الأداء لصنف الإشغال IV			
		OP	IM	LS	CP
SLE	43	مطلوب	غير مسموح	غير مسموح	غير مسموح
DE	475	مسموح	مطلوب	غير مسموح	غير مسموح
MCE _r	2475	غير ممكن	غير مطلوب	مطلوب	غير مسموح

1-أهمية ومشكلة وأهداف البحث:

إن إجراء دراسات تقييم سلامة المنشآت الصحية هو أمر ضروري خاصة بحالة كون التعرض للكوارث كالزلزال ممكناً، ويعتبر ضمان سلامة المشافي عامل أساسى لضمان سلامة المجتمعات المخدمة لها. أيضاً إن إيجاد منحنيات الهشاشة يساعد في إعداد دراسات تقييم الخسائر لاحقاً مما يساعد بوضع خطط لحالات الطوارئ، وقابلية تعرض المنشآت السكنية العالية للأضرار بحالة حدوث الزلازل بالمناطق المجاورة لأن معظمها غير مصمم لتوافق اشتراطات الكود

الرواس، الصحاوي

استخدام التحليل الديناميكي المتزايد للمنشآت الاطارية يتم فرض حدوث الانهيار عند تسطح المنحنيات والتي توافق حدوث حالة عدم استقرار، لكن هذا الفرض لا يصلح لحالة المنشآت الحاوية على جدران قص لعدة أسباب أهمها، أن جدران القص أكثر قساوة من الإطارات العزمية ف تكون تأثيرات P-delta بحالة الجدران القص متوازنة ومنخفضة الارتفاع مهملة تقريباً. تتلذن أيضاً جدران القص عند مستويات انزياح منخفضة، ومن الممكن انهيار العناصر المقاومة للأحمال الشاقولية قبل انهيار جدران القص (Kim et al., 2007).



الشكل (1) منحنيات التحليل الديناميكي المتزايد (Baker, 2015).

3- مواد البحث وطرقه:

3-1- توصيف الحالة الدراسية:

تمت الدراسة الحالية على مشفى القبطية الوطنية الذي يقع بمحافظة ريف دمشق، يتكون المنشأ بشكل أساسى من كتلتين الأولى مكونة من قبو وأرضى وأربع طوابق حيث المساحة الطابقية 845 m²، بينما تستمر الكتلة الثانية حتى منسوب الطابق الثاني فقط. تم في هذا البحث دراسة الكتلة الأولى فقط. تتراوح سمكية معظم جدران القص من 30cm في القبو إلى 20cm أعلى البناء، ونسبة تسليح المناطق الطرفية من الأعمدة 4% إلى 1%. أبعاد الجوائز ضمن إطار الواجهة 25x83cm والأعمدة 30x100cm بالقبو والأرضى و 25x100 بباقي الطوابق. بلاطة السقف هي بلاطة هوردي بسمك 38cm للجزء السفلي و 28cm لباقي المناطق، الجملة الإنسانية المقاومة للأحمال الجانبية هي جملة جدران قص بيتونية

تقييم الأداء الزلالي لمشفى القبطية الوطنية.....

$$\begin{aligned} \text{Fragility} &= P(C|IM = x) \\ &= \emptyset\left(\frac{\ln(\frac{x}{\theta})}{\beta}\right) \end{aligned} \quad (1)$$

حيث:

$P(C|IM=x)$: الاحتمال المشروط لحدوث الانهيار (Collapse) علماً أن مستوى معين من الشدة x قد وقع.

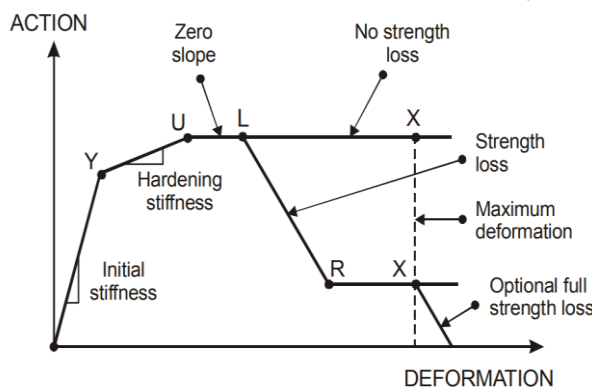
Φ هو التوزيع الطبيعي.

من أكثر طرائق الحصول على منحنيات الهشاشة شيئاً هي الطرائق التحليلية كالتحليل الديناميكي المتزايد Incremental dynamic Analysis (IDA) القيام بسلسلة من تحاليل استجابة البناء باستخدام مجموعة من التسجيلات والتي تم زيادة شدتها من الشدة التي توافق استجابة لاختطية مهملة إلى الشدة التي تؤدي إلى الانهيار (Vamavtsikos et al., 2002)، ويتم اعتبار الشدة التي حدثت عندها 50% من حالات الانهيار هي الوسيط لتابع IDA الهشاشة. يوضح الشكل (1) مثلاً على منحنيات IDA حيث كل نقطة من المنحنى الموفق لتسجيل زلالي معين تمثل قيمة نسبة الانزياح الطابقي الاعظمي ومقاييس شدة الحركة الأرضية.

من الصعوبات المتعلقة بإجراء التحليل الديناميكي المتزايد هي عدم وجود تعريف محدد يصف حصول الانهيار (Terrenzi et al., 2018)، حيث يتم تقييم الانهيار من خلال بارامترات الطالب الهندسي Engineering Demand Parameters (EDB)، ويختلف تعريف الانهيار باختلاف طريقة التحليل والكود المستخدم، فمثلاً حسب EC8 (1998) يوافق الانهيار وصول التشوّهات في أول عنصر (عمود غالباً) إلى مستوى معرف مسبقاً أي FEMA-356 Local EDP، أما حسب (2000) يحدث الانهيار لبعض الجمل عندما تتجاوز نسبة الانزياح الطابقي Inter-Story Drift Ratio (IDR) قيمة معينة 4% مثلاً أي بارامترات عامة Global EDP. عند

الرواس، الصحاوي

تم في هذا البحث استخدام برنامج CSI Perform-3D الشائع (CSI, 2021) الاستخدام بمجال التصميم المبني على الأداء (Ultimate Limit State, YULRX) لتمثيل سلوك المواد والمكونات كالمفاصل اللدنة. يوضح الشكل (4) نموذج YULRX، حيث يرمز Y في اسم النموذج إلى التلدن (Ultimate Strength)، U هي المقاومة العظمى (Yielding Strength) وبداية مرحلة loss (Loss of Resistance)، L بداية الخسارة بالمقاومة (Strength loss) وبداية مرحلة In-Cycle Degradation، R نقطة الانهيار المفترضة والتي قد تعيّن خسارة العنصر للقدرة على مقاومة أحصار الجاذبية أو إلى عدم صلاحية النموذج المستخدم لتمثيل السلوك اللاخطي عند تجاوز التشوّهات تلك القيمة.

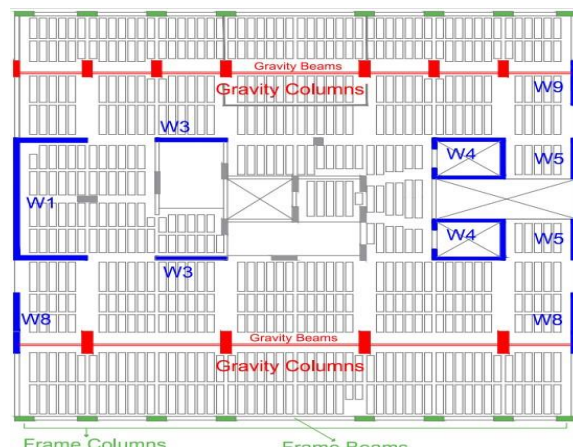


الشكل (4) نموذج YULRX.

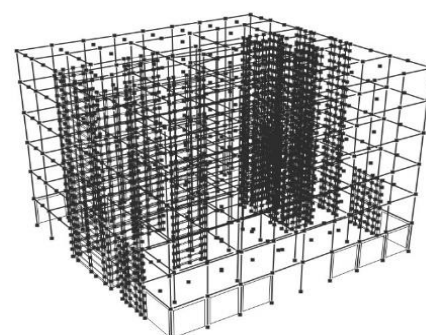
3- نمذجة العناصر الإطارية:

تم نمذجة العناصر الإطارية كالأعمدة والجوانز ضمن الجملة المقاومة لأحصار الجاذبية وإطار الواجهة باستخدام عنصر إطاري خطى ومفاصل لدنة مركزة ببداية ونهاية العنصر. القساوة الفعالة للعناصر الإطارية تتعلق بشكل أساسى بمستوى القوة المحورية والتسلیح ومستوى التشوّهات المتوقعة وصول العنصر لها معبراً عنها بنسبـة الانزياح الطابقـي (Kwon 2016).

تقييم الأداء الزلزالي لمشفى القطيفـة الوطنـي مسلحة، حيث يبيـن الشـكل (2) مـسقط الطـابق الأول لـلكـتلة الأولى مع أـسماء مـجموعـات العـناصـر، حيث تم تقـسيـم الـبناء إلى عـدة مـجموعـات عـناصـر إـنسـانـية، وهـي مـجموعـة جـدرـان Wall-ROTATION وتشـمل الجـدرـان (W3,W4,W5)، مـجموعـة الجـدرـان المـحكـومـة Wall-SHEAR وتشـمل (W1,W8,W9)، مـجموعـة القـصـ Wall-GRAV، Mـجموعـة الأـعمـدةـ والـجـوانـزـ ضـمنـ الجـملـةـ المـقاـوـمةـ لأـحـصارـ الـجـاذـبـيةـ علىـ التـرتـيبـ. وأـخـيرـاـ Mـجموعـةـ أـعمـدةـ وجـوانـزـ إـطـارـ الـواـجهـةـ Mـجموعـةـ C~olumns-FRAME، C~olumns-FRAME، C~olumns-FRAME. يـوضـحـ الشـكلـ (3)ـ صـورـةـ نـموـذـجـ الـبنـاءـ ضـمـنـ بـرـنـامـجـ CS~I~ Perform-3Dـ. تمـ اـعـتمـادـ مـعاـيـرـ القـبولـ لـمستـويـاتـ الـأـداءـ Acceptance Criteriaـ لـالـعـناـصـرـ الإنـشـائـيـةـ وـفـقـاـ دـ ASCE/SEI 41-23ـ.



الشكل (2) مـسقطـ الطـابـقـ الأولـ معـ توـضـيـحـ مـجموعـاتـ العـناـصـرـ الإنـشـائـيـةـ.



الشكل (3) نـموـذـجـ الـمنـشـأـ ضـمـنـ بـرـنـامـجـ CS~I~ Perform-3Dـ.

الرواس، الصحاوي

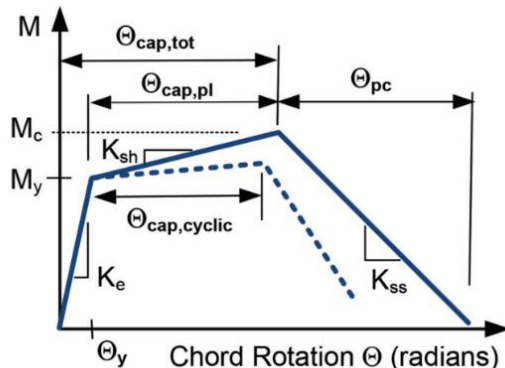
معين بما يتناسب مع المقدرة الانعطافية. أيضاً عند استخدام الطرق الاستاتيكية المكافئة يتم اعتماد قيمة R ثابتة لحساب الطلب لجميع السلوكيات المطابعة والهشة على حد سواء.

حيث يتم تصنيف الجدران حسب توصيات الكود (ASCE/SEI-41 2023). تم في هذا البحث الاعتماد على توصيات ضمن دراسة Lowes وأخرون (2018) بما يتعلق بقيم بارامترات العلاقة YULRX لألياف الفولاذ والبيتون والتقسيمات الشاقولية والأفقية، كما تم استخدام نموذج ماندر (Mander et al., 1988) لحساب أثر التطويق. أما بالنسبة لسلوك مواد الفولاذ والبيتون تم توضيحه في الأشكال (6) و(7)، حيث توضح هذه الأشكال منحني علاقة إجهاد-انفعال لألياف التسليح والبيتون المطوق وغير المطوق كما تم تعريفها ضمن البرنامج، تم أيضاً اعتماد معاملات تخفيض الطاقة نتيجة التدهور الدوري من الدراسة السابقة (Lowes et al., 2018). بالنسبة لتقسيم العناصر تم عمل ضبط Regularization لعلاقة إجهاد-انفعال لألياف البيتون لجعل استجابة النموذج مستقلة عن التقسيمات وذلك بالنسبة للتقسيمات على ارتفاع الجدار، أما بالنسبة للتقسيمات الأفقية ولأن الانفعالات الشاقولية على طول الجدار تتوزع بشكل غير خططي فتم اعتماد أربع عناصر اثنان للمناطق الطرفية واثنان لباقي الجدار. تتعلق القساوة الفعالة الانعطافية لجدران القص بشكل أساسي بمستوى القوة المحورية والتسليح ضمن المناطق الطرفية بالجدار (ASCE/SEI-41 2023)، وتم اعتمادها ك $0.3E_c I_g$ ، أما القساوة القصبية للجدران المحكومة بالانعطاف فتساوي $0.15E_c A_g$. تم حساب الدورانات والانفعالات القصبية عن طريق استخدام حساس للانفعال Gage ضمن Strain Gage ضمن البرنامج لطول مفصل لدن يساوي الارتفاع الطابقي أو نصف طول الجدار أيهما أقل.

3-3-تحقيق سلوك جدار القص:

لتتحقق من أن نموذج جدار القص ضمن البرنامج المستخدم يوافق نتائج دراسات تجريبية تم عمل نموذج للجدار S8 لدراسة

تقييم الأداء الزلزالي لمشفى القطيفة الوطني..... عزم دوران حسب دراسة Haselton وأخرون (2016)، يوضح الشكل (5) بارامترات علاقه عزم دوران المستخدمة.



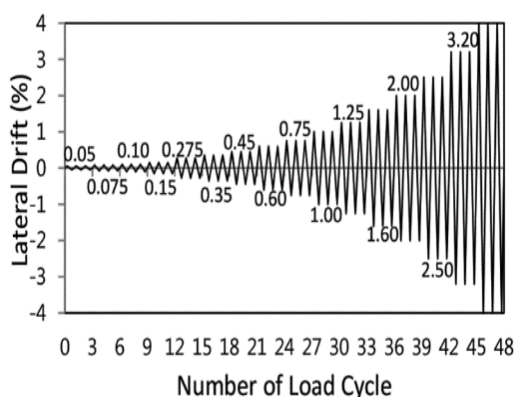
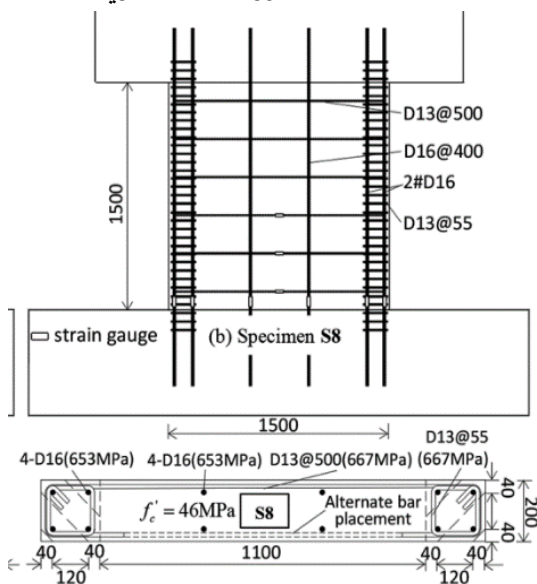
الشكل (5) بارامترات علاقه عزم دوران للمفاصل اللدنة (Haselton et al., 2016)

3-3-نمذجة جدران القص:

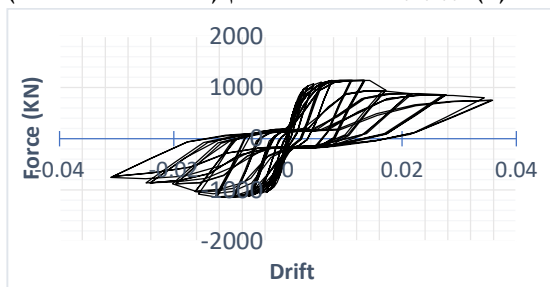
تم نمذجة جدران القص باستخدام عنصر محدود ماкро ثنائي البعد 2D-Macro يجمع ثلاث أنماط استجابة لتمثيل سلوك الجدار (Lowes et al., 2018):

- مقطع عرضي مؤلف من ألياف طولية لبيتون المطوق وغير المطوق والتسليح لتمثيل سلوك الانعطافي ضمن المستوى In-Plane Flexural Behavior.
- طبقة قص منتظمة بعلاقة استجابة أحادية بعد خطية أو غير خطية تمثل سلوك القص ضمن المستوى.
- وللسلاوك الانعطافي خارج المستوى صفيحة Plate والاستجابة خطية حسراً.
- وجد أن معظم جدران القص محكومة بالانعطاف Flexural-Controlled وذلك بسبب المقدرة الانعطافية بالقص Shear-Controlled والتي كانت محكومة بالجهة الناتجة عن نسب عالية لفولاذ التسليح بالمناطق الطرفية للجدار ضمن منطقة المفصل اللدن وعدم زيادة المقدرة القصبية بما يتوافق مع ذلك مما يجعل التلدن على القص سابق للتلدن الانعطافي المرغوب به. وقد يرجع السبب بذلك أنه قبل إصدار الكود ACI318-19 لم يكن هناك نص يحظر على وجوب زيادة المقدرة القصبية للجدار عن طريق معامل تصعيد

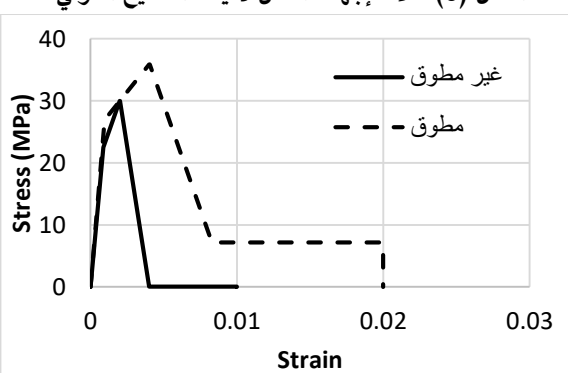
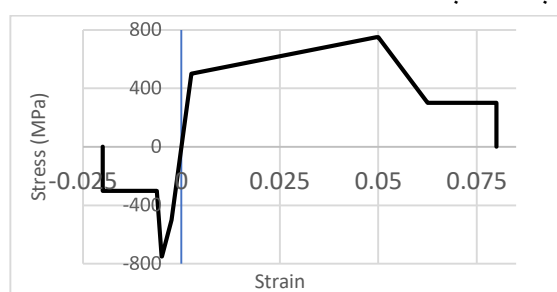
الرواس، الصناعي



الشكل (10) علاقه قوه-انتقال للجدار من الدراسة التحليلية.



..... Park وآخرون (2015)، يوضح الشكل (8) تفاصيل الجدار S8، والشكل (9) بروتوكول التحميل للتجربة. بأيجاد علاقة قوه-انتقال للجدار من الدراسة التحليلية الشكل (10) ومقارنتها بالدراسة التجريبية الشكل (11) نلاحظ أن النموذج قادر على تمثيل قساوة التحميل والتغير وإعادة التحميل بشكل يتوافق مع الدراسة التجريبية، وبلغ الفرق النسبي لقيمة القوة العظمى بين النموذج والدراسة التجريبية 1% - بالاتجاه الموجب و 9% بالاتجاه السالب.



الرواس، الصحاوي

الثلاث الأولى للمنشأ ونسبة مساهمة الكتلة للأتمان Modal Mass Participation Ratio (MMPR) (MMPR). ومن الجدول نلاحظ أن النمط المسيطر إنسحابي ودوره $T=0.729$ sec. بالاتجاه H2 الموازي لاتجاه القصیر لمسقط البناء الموضح بالشكل (2).

الجدول (2) أنماط الاهتزاز للمنشأ.

Mode	Period (sec)	MMPR	Type
1	0.729	63%	Transition-Y
2	0.654	68%	Transition-X
3	0.5		Rotation-Z

4- الخطر الزلزالي ودراسة تحليل المخاطر الزلزالية:

يستعرض هذا الجزء من البحث دراسة تحليل المخاطر الزلزالية Probabilistic Seismic Hazard Analysis (PSHA) بشكل مختصر وفق الخطوات الموضحة بالشكل (12). تم استخدام برنامج R-CRISIS الشائع بمجال دراسات تحليل المخاطر الزلزالية.

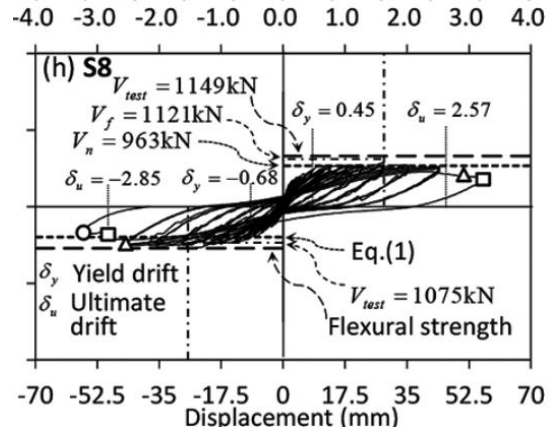


الشكل (12) مخطط خطوات دراسة تحليل المخاطر الزلزالية.

4-1 المصادر الزلزالية:

يقع البناء بالمنطقة الزلزالية 2C وفق الكود العربي السوري. تصنف المصادر الزلزالية إلى مصدرين أساسين هما نظام الطي التدميري Palmyride Folding System (PFS) ونظام Dead Sea Fault System (DSFS) مثل سرغايا والغاب، المصادر التي تبعد عن الموقع المدروس مسافة أقل من 150 Km هي التي تمأخذها بعين الاعتبار. تم استخدام نموذج جوتبيرج-ريختر المعدل- Modified Gutenberg-Richter model.

تقييم الأداء الزلزالي لمشفى القطيفة الوطني.....



الشكل (11) علاقة قوة-انتقال للجدار من الدراسة التجريبية (Park et al., 2015)

3-4 التفاعل المتبادل بين المنشأ والتربة:

تم في هذه الدراسة إهمال التفاعل المتبادل بين المنشأ والتربة، ونمذجة المنشأ موثق قاعدياً، وذلك لأن نسبة قساوة المنشأ إلى قساوة التربة $\frac{h/T}{v_s} = 0.1$ ، والتي تحسب من العلاقة $R = \frac{h/T}{v_s}$ حيث h هو الارتفاع الفعال للمنشأ ويساوي المسافة بين سطح الأساس ومركز كتلة النمط الأساسي للبناء، ويمكن تقديره كثلي ارتفاع البناء وهنا تساوي إلى 15.5 m، T هو دور الاهتزاز الأساسي للبناء وقيمه 0.729 sec، v_s متوسط سرعة الأمواج القصيرة الفعالة للتربة وتقدر بـ 360 m/sec (NIST, 2012)

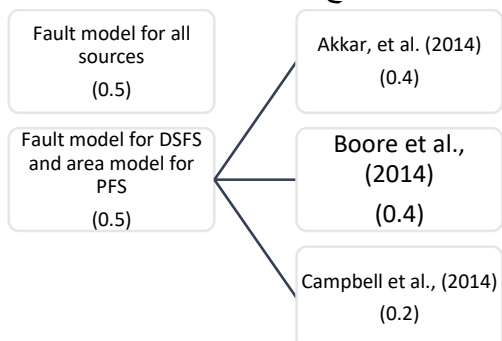
3-5-الديافرامات والتخامد وأنماط الاهتزاز:

نظرًا لعدم وجود حالات عدم انتظام فتلي أو انقطاع بأحد جدران القص تم فرضها كديافرام صلب Rigid Diaphragm. تم استخدام تخادم نمطي Modal Damping لأول أربع أنماط اهتزاز إنسحابية بنسبة 4% من التخادم الحرج، ونسبة صغيرة من تخادم ريلي لا تتجاوز 1% لتسريع حصول تقارب بالحل التحليلي. الكتلة الجانبية الفعالة تساوي لقيمة الأحمال الميتة الدائمة على المنشأ فقط، أما أحمال الجانبية فتمأخذها وفق التركيب التالي: $1.0DL + 0.5LL$ ، حيث DL الأحمال الميتة، LL الأحمال الحية. يوضح الجدول (2) أنماط الاهتزاز

الرواس، الصناوي
 (Randomness) • تصف العشوائية Aleatory
 كالتشتت Scattering (عند استخدام العلاقات التجريبية. يتم
 توصيفها بأسناد قيمة انحراف معياري.
 Epistemic • المرتبطة بنقص المعرفة عن الظاهرة
 سواء بزلزالية المصدر أو بعلاقة تقدير الحركة الزلزالية، يتم
 التعامل معها عن طريق استخدام Logic Tree، ويعتبر
 استخدام Logic Tree شائعاً ضمن دراسات تحليل المخاطر
 الزلزالية على مستوى زلزالية المصادر و GMPE (Bommer et al., 2005)
 أما بالنسبة لتأثير الموقع، تم في هذه الدراسة
 إعتماد نموذجين لنزرة الموقع لعدم توافق قياسات حقلية لسرعة
 أمواج القص، النموذج الأول يوافق صنف موقع SC وسرعة
 أمواج القص 760 m/sec والثاني SD وسرعة أمواج القص
 .360 m/sec

4-4-مخرجات الدراسة:

يوضح الشكل (14) منحنيات طيف الاستجابة موحد الخطر
 Uniform Hazard Spectrum (UHS) لزمني عودة 2475 سنة ولصنفي موقع SC، ولمساعدة بأختيار
 التسجيلات الزلزالية تم إعداد Disaggregation Chart والتي
 تعبر عن نسبة المساهمة المتوقعة لهزات ذات قدر وبعد معين
 من الخطر الكلي الموافق لزمن رجوع معين
 كل (15) (Baker et al., 2021) يوضح
 لقيمة تسارع الاستجابة الطيفي لدور
 0.7 Sec، وزمن رجوع 2475 سنة.



الشكل (13) مخطط Logic Tree المستخدمة القيم ضمن قوسين لوزن الفرع.

تقييم الأداء الزلزالي لمشفى القطيفة الوطني
 Richter model لزلزالية المصادر، تمأخذ بارامترات العلاقة
 الممثلة لزلزالية المصادر من عدة دراسات محلية بسوريا
 (Ahmed, 2013), (El Ssayed et al., 2012),
 (Huijer et al., 2016)

كما تم في هذه الدراسة عمل نموذجين بما يخص المصادر
 الزلزالية، تم في النموذج الأول تم تمثيل المصادر باستخدام
 عناصر خطية (فوالق) Fault Model لجميع المصادر
 الزلزالية، وتم تمثيل المصادر في النموذج الثاني ك Fault
 لل المصادر ضمن DSFS و تم تمثيل المصادر ضمن PFS
 عناصر مساحية Area Model، وإسناد القيمة 0.5 لوزن كل
 نموذج.

4-2-معادلات تقدير شدة الحركة الأرضية:

لم يتم تطوير أي معادلات لتقدير شدة الحركة الأرضية Ground Motion Prediction Equation (GMPE) في سوريا حتى الوقت الحاضر نظراً لقلة الأحداث الزلزالية كبيرة ومتوسطة القدر (Ahmed, 2013)، مع العلم أن تسجيل الأحداث الزلزالية قد بدأ بوقت متأخر (منتصف التسعينات).
 بالمقابل يوجد بعض النماذج لمعادلات تقدير شدة الحركة الأرضية أكثرها شيوعاً نموذج (Akkar et al., 2014) لمنطقة حوض المتوسط بالخصوص تركيا وإيطاليا واليونان، بالإضافة لذلك يمكن أيضاً استخدام العلاقات الخاصة بمشروع NGA West لمنطقة حوض المتوسط (Stafford et al., 2008). تم في هذه الدراسة اعتماد ثلاثة نماذج موضحة بالشكل (13) كمخطط Logic Tree حيث بين الشكل نماذج المصادر والمعادلات المستخدمة بالإضافة لوزن الفرع لكل حالة.

4-3-حساب الخطر الزلزالي:

يصنف عدم التيقن ضمن PSHA إلى نوعين : (Budnitz et al., 1997)

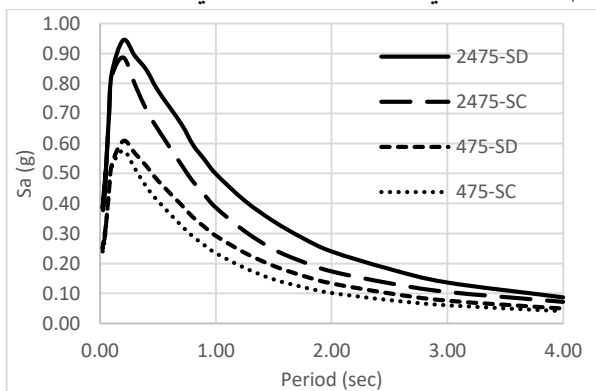
الرواس، الصحاوي

الوصول له تحت شدة الزلزال التصميمي أقل منها بحالة الزلزال الأعظمي الاعتباري، أيضاً قيمة التخادم اللزج المكافئ تم أخذها كـ 2.5% من التخادم الحرج. تم اختيار خمس تسجيلات زلزالية لتقدير الأداء الزلزالي، يوضح الشكل (16) طيف الاستجابة المتوسط للتسجيلات المختارة والطيف الهدف، والجدول (3) مواصفات التسجيلات المستخدمة. يجدر الذكر بأنه على الرغم من أن معظم المراجع تتصفح سبع تسجيلات زلزالية على الأقل لكن بسبب أنه من غير المتوقع الوصول إلى درجات عالية من اللاخطية تحت شدة الزلزال التصميمي تم الاكتفاء بخمس تسجيلات. أظهرت النتائج أن متوسط نسب الانزياحات الطابقية العظمى Max IDR تساوى 0.008 حسب الجدول (4). يوضح الشكل (17) قيم نسب الاستخدام Usage Ratio لمستوى أداء الإشغال Load Capacity لمجموعات العناصر الإنسانية لحالات التحميل المباشر لمجموعات العناصر الإنسانية حيث تشير قيم التشوّهات Cases حيث تعبّر القيم الأقل من الواحد أن قيم التشوّهات لمجموعة العناصر لم تتجاوز الحد المفروض لمستوى الأداء. وُجد أن معظم العناصر الإنسانية بالمتوسط تحقق مستوى الأداء المطلوب حيث قيم الوسيط Mean لنسب الاستخدام أقل من الواحد عدا الأعمدة المكونة لإطار الواجهة لم تتحقق مستوى الأداء المطلوب.

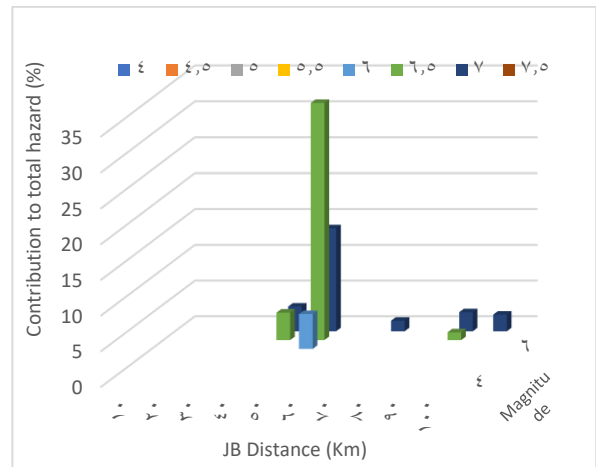
الجدول (3) التسجيلات الزلزالية لتقدير الأداء على السيناريو التصميمي.

Index	Earthquake Name	Magnitude	Vs30 (m/sec)	Scale Factor	5-95% Duration (sec)
1	San Fernando	6.61	450.28	0.985	16.8
2	Friuli Italy	6.5	505.23	0.7299	4.9
3	Northridge	6.69	347.7	1.2172	15.5
4	San Simeon CA	6.52	509.04	2.7063	18.8
5	Chuetsu-oki Japan	6.8	278.12	0.8227	23.2

تقدير الأداء الزلزالي لمشفى القطيفة الوطني.....



الشكل (14) UHS زمني عودة 2475,475 سنة لصنفي موقع SD,SC



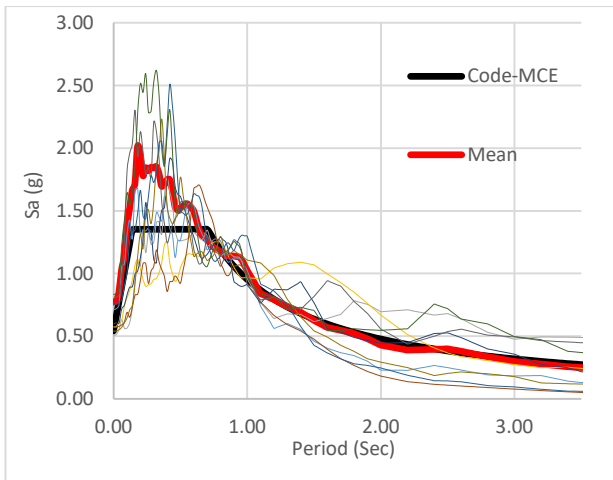
الشكل (15) Disaggregation Chart لتسارع الاستجابة الطيفي دور 0.7 Sec لزمن عودة 2475 سنة، 2، 2، 69% من الخطير الكلي.

5-تقدير الأداء الزلزالي للبناء :

5-تقدير الأداء الزلزالي للبناء لسيناريو الزلزال التصميمي: تم في البداية تقدير الأداء على الزلزال التصميمي والذي يوافق زمن عودة 475 سنة، وعناصر السيناريو كالتالي: $M=6.8$, $R_{rup}=14$ km, حيث M : القدر الزلزالي، و R_{rup} هي المسافة الأقرب إلى سطح الصدع Rupture Distance. من أجل الزلزال التصميمي وللأبنية ذات صنف أشغال IV يجب أن يحقق البناء مستوى الأشغال المباشر. قيم القساوة الفعالة للعناصر الإنسانية تختلف عن التمودج الأساسي الذي تم عرضه بالفترات السابقة وذلك لأن مستوى التشوّهات المتوقعة

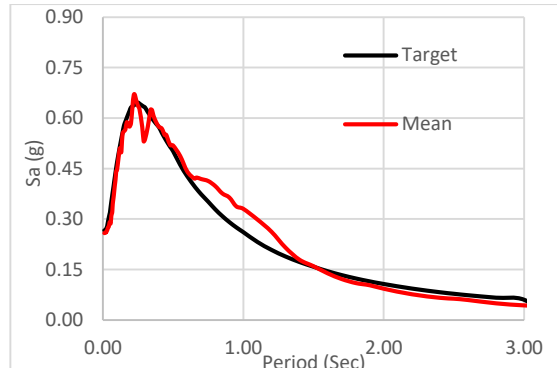
الرواس، الصحاوي

للمدينة دمشق وصنف الموقع SD. أن مستوى الأداء الزلزالي الواجب على البناء تحقيقه على الشدة الموافقة للزلزال الأعظمي الاعتباري هو أمان الحياة، تم اختيار 11 تسجيل زلزالي وفق توصيات ASCE/SEI-7-22 حيث يوضح الشكل (18) أطيف الاستجابة للتسجيلات المختلفة والطيف المتوسط لها والطيف الهدف، ويحتوي الجدول (5) على مواصفات التسجيلات المستخدمة. يوضح الشكل (19) و (20) نسب الانزياحات الطابقية العظمى من التسجيلات وقيمة المتوسط لكل طابق للاتجاهين H1,H2. حيث أظهرت النتائج أن الانزياحات الطابقية كانت محققة وأقل من ($I_e/4\%$) حيث عامل الأهمية للمنشأ ويحدد حسب صنف الإشغال وتبلغ قيمته حسب الكود العربي السوري 1.5. يوضح الشكل (21) نسب الاستخدام لمستوى الأداء أمان الحياة نلاحظ أن الأعمدة مقاومة لأحمال الجانبية والجدران المحكومة بالقص لم تتحقق مستوى أمان الحياة بينما حققت الجدران المحكومة بالانعطاف مستوى الأداء المطلوب.



الشكل (18) طيف استجابة للزلزال الأعظمي الاعتباري والمتوسط للتسجيلات وأطيف التسجيلات تظهر بالخط الرفيع.

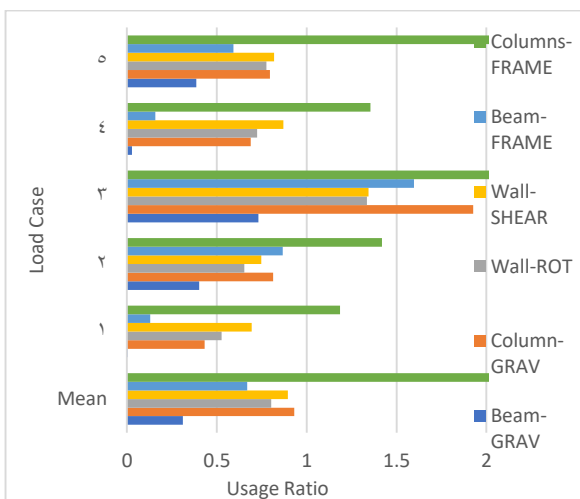
تقييم الأداء الزلزالي لمشفى القطيفة الوطني.....



الشكل (16) طيف الاستجابة الهدف والمتوسط للتسجيلات.

الجدول (4) قيم نسب الانزياحات الطابقية العظمى للبناء.

Max IDR %	Load-Cases					
	mean	1	2	3	4	5
	0.8%	0.7%	0.8%	1.0%	0.7%	0.9%



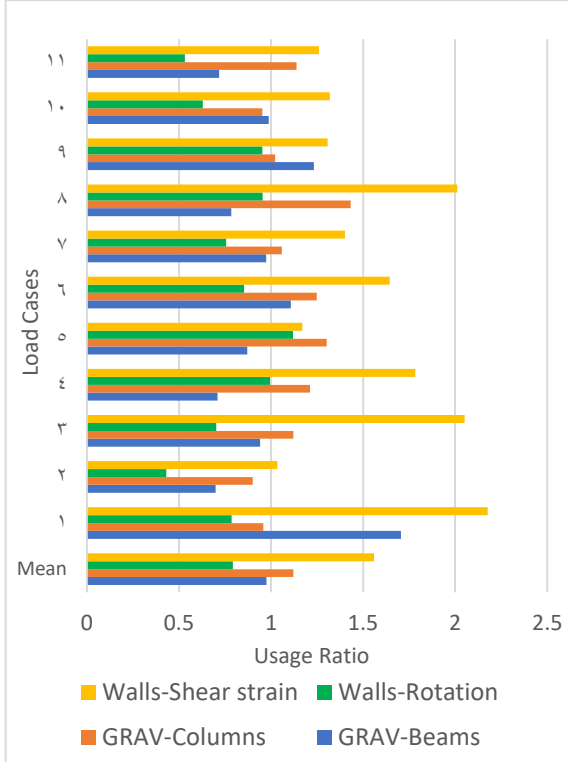
الشكل (17) نسب الاستخدام لمستوى الأداء الإشغال المباشر لمجموعات العناصر الإنشائية.

5-2-تقييم الأداء الزلزالي على الشدة الموافقة للزلزال

الأعظمي الاعتباري:

بالإضافة إلى تقييم الأداء الزلزالي للبناء على الشدة التصميمية تم أيضاً تقييم أداء البناء باستخدام التحليل الديناميكي اللاخطي على مستوى شدة الزلزال الأعظمي الاعتباري ذو زمن عودة 2475 سنة والموفق لطيف الكود العربي السوري

الرواس، الصحاوى



تقييم الأداء الزلالي لمشفى القطيفية الوطني.....

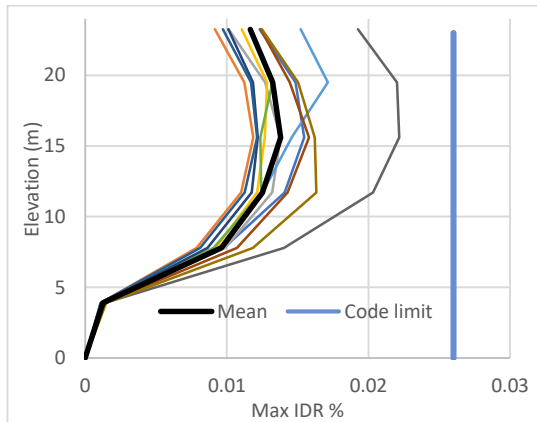
الجدول (5) التسجيلات الزلزالية المستخدمة.

Index	Earthquake	Magnitude	5-95% Duration (sec)	SF
1	Northern Calif	6.5	19.4	13.
2	Landers	7.28	37.9	5.7
3	Big Bear	6.46	12.1	3.7
4	Kobe	6.9	60.1	65.
5	Kobe	6.9	43.8	54.
6	Hector Mine	7.13	26.7	34.
7	Hector Min	7.13	14.6	73.
8	El Mayor-Cucapah	7.2	24.7	3.9
9	Joshua Tree	6.1	11.2	1.8
10	Darfield	7	25.8	3.6
11	Darfield	7	23	5.2

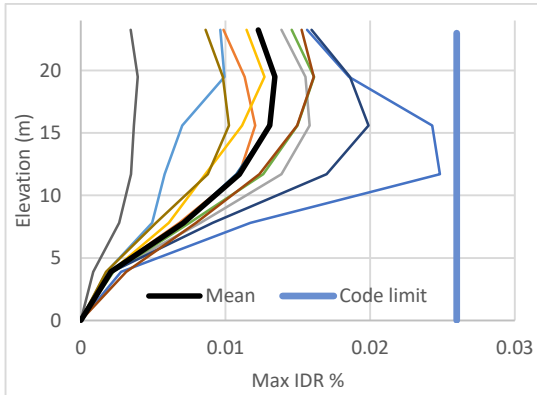
الشكل (21) نسب الاستخدام لمستوى أمان الحياة لمجموعات العناصر الانشائية.

٥- التحليل الديناميكي المتزايد:

بعد تقييم الأداء على الزلزال التصميمي والأعظمي تم إجراء تحليل ديناميكي متزايد وفق توصيات FEMA-p58 (2018) من أجل ايجاد منحنى هشاشة الوصول لمستوى منع الانهيار للعناصر الإنسانية، تم بالبداية إنشاء طيف استجابة UHS موافق لمستوى الخطير للشدة $g = 1.5$ ليكون هو الطيف الهدف حيث تم تقدير القيمة الوسطى للانهيار لتتساوى تقريباً ثالث أضعاف قيمة تسارع الاستجابة الطيفي التصميمي وفقاً للكود عند دور يوافق متوسط الدور الأول والثاني للمنشأ ويساوي 0.7 Sec بعد ذلك تم اختيار 11 تسجيل زلالي بحيث يواافق الطيف الوسطي Geomean للمركبتين الأفقيتين الطيف الهدف من أجل قيمة MSE أقل من 20% من أجل المجال $T_1 = 0.2T_1-1.5T_1$ ، حيث T_1 الدور الأساسي للمنشأ معامل التقييس SF بين 0.25 إلى 5.0. المدة المستخدمة في المجال من 5% إلى 95% من Arias intensity. تم



الشكل (19) نسب الانزياحات الطابقية العظمى للاتجاه H1.



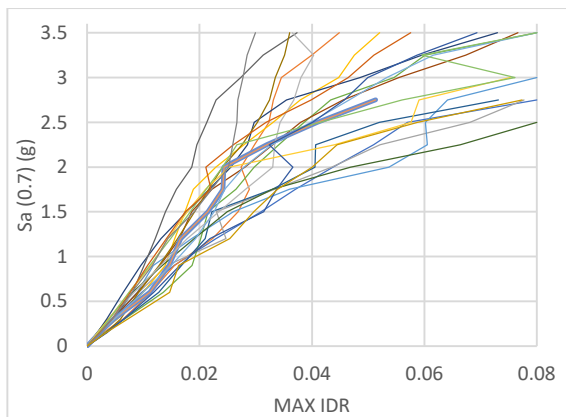
الشكل (20) نسب الانزياحات الطابقية العظمى للاتجاه H2.

الرواس، الصحاوي

(FEMA P695, 2009) MCEr ضمن إطار الواجهة أقل قيمة وسيط لتابع المشاشة مما يجعلها الأكثر عرضة لحدوث الأضرار، بينما للجدران المحكومة بالانعطاف أكبر قيمة حيث لم تتجاوز قيمة احتمال الانهيار تحت الشدة الموافقة لـ 4% MCEr.

الجدول (6) مواصفات التسجيلاتزلالية المستخدمة

Index	Earthquake Name	Magnitude	Rrup (km)	Vs30 (m/sec)	5-95% Duration (sec)	Mean Period (sec)
1	Northern Calif	6.5	27.02	219.31	19.4	1.06
2	Chalfant Valley	6.19	21.92	370.94	16.6	0.59
3	Superstition Hills	6.54	22.25	316.64	13.3	0.47
4	Big Bear	6.46	40.54	359	12.1	0.57
5	Kobe	6.9	22.5	312	13.2	0.54
6	Hector Mine	7.13	31.06	379.32	14.6	0.67
7	Chi-Chi	6.2	21.6	258.89	18.4	0.66
8	El Mayor-Cucapah	7.2	23.42	202.26	13.8	0.33
9	Big Bear	6.46	129.	396.41	12.1	0.63
10	Joshua Tree	6.1	29.4	425.02	7.8	0.25
11	Darfield	7	24.4	422	15.7	0.25



الشكل (22) منحنيات التحليل الديناميكي المتزايد.

تقييم الأداء الزلالي لمشفى القبطية الوطنية اختيار تسجيلات زلالية مختلفة عن المستخدمة سابقاً لتقدير الأداء على الشدين التصميمية والأعظمية وذلك لاختلاف طيف الاستجابة الذي تمت المعايرة له مواصفات التسجيلات موضحة بالجدول (6). تم استخدام قيمة تسارع الاستجابة الطيفي ذو 5% تخادم لدور 0.7 Sec كمقاييس للشدة، وقيمة نسبة الانزياح الطابقي العظمى لإنشاء منحنيات التحليل الديناميكى المتزايد، يوضح الشكل (22) منحنيات التحليل الديناميكى المتزايد ويلاحظ أنه على الرغم من وصول الشدة إلى مستويات عالية لحدود $g = 3g_{Sa}(0.7)$ إلا أنه لم يحصل سطح واضح للمنحنيات ويرجع السبب بذلك لقساوة جدران القص والتي تمنع من تشكيل ميكانيزم انهيار بالطوابق الأولى للبناء. تم لكل مجموعة من مجموعات العناصر الإنسانية المكونة للبناء تم إنشاء منحني هشاشة الانهيار والذي يوافق وصول التشوہات إلى مستوى منع الانهيار. قيمة احتمال الانهيار عند كل مستوى شدة يساوى عدد التسجيلات التي حدثت عنها الانهيار مقسوماً على 22 (11 زوج تسجيلات يتم تدويرها بزاوية 90° لينتج 22 حالة تحمل عند كل مستوى للشدة). يوضح الشكل (23) منحني هشاشة الانهيار للجدران المحكومة بالانعطاف ممثلاً بمنحني تابع التوزيع التراكمي الطبيعي اللوغاريتمي حيث قيمة الوسيط لتابع المشاشة تساوي الشدة التي حصل عنها 50% من حالات الانهيار (11 من 22)، وقيمة β تساوى إلى 0.3. تمثل النقاط بالشكل (23) احتمال الانهيار عند كل مستوى شدة، لوحظ وجود توافق بين منحني تابع المشاشة باستخدام التوزيع الطبيعي اللوغاريتمي وبين قيم احتمال الانهيار المستنيرة من التحليل، يوضح الشكل (24) منحنيات المشاشة لمجموعات العناصر الإنسانية والجدول (7) يوضح قيم الوسيط لتتابع المشاشة لمجموعات العناصر الإنسانية ونسبة هامش الانهيار Collapse Margin Ratio (CMR) وتتساوى نسبة الوسيط لتتابع المشاشة إلى قيمة تسارع الاستجابة الطيفي الموافق لـ

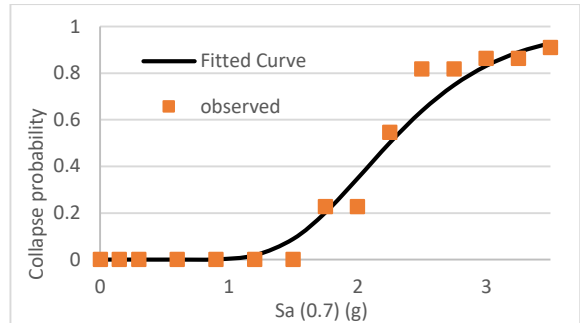
الرواس، الصحاوي

- عند التقييم على مستوى الشدة الموقعة لـ MCEr كانت جميع نسب الانزياحات الطابقية محققة.
- مستوى الأداء للجدران المحكمة بالانعطاف تحت شدة MCEr يوافق أمان الحياة، بينما للجدران المحكمة بالقص لم تتحقق مستوى أمان الحياة.
- أظهرت منحنيات الهشاشة أن للأعمدة المكونة لإطار الواجهة أقل قيمة وسيط للانهيار تساوي $g = 1.06$ ، وقيمة CMR تساوي 0.79، واحتمال الانهيار تحت شدة MCEr يساوي 70% أكبر من الحد المسموح به للأبنية العادية، وعلى الرغم من أنها لن تؤدي إلى حدوث انهيارات بالمنشأ لكنها تبقى استجابة غير مرغوبة وتؤثر على قابلية تشغيل المنشأ وكلفة الإصلاح المتوقعة بحال حصول هزات كبيرة القدر.
- تقدم طريقة التحليل الديناميكي المتزايد رؤية أفضل تكشف مواضع الضعف في تصميم البناء، والتي قد تلعب دوراً هاماً في السلوك العام للمنشأ وقابلية تشغيله واستثماره.

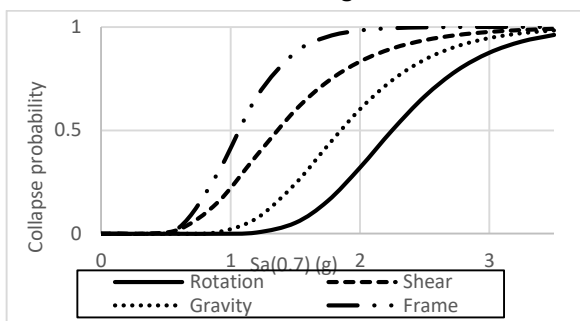
7-التوصيات والاعمال المستقبلية:

- على الرغم من تصميم البناء لمقاومة الأحمال الزلزالية باستخدام الطرائق الاستاتيكية الخطية، إلا أن بعض مكونات الجملة الإنسانية لم تحقق مستوى الأداء المطلوب لذلك من الضروري اعتماد فلسفة التصميم الزلزالي المبني على الأداء للأبنية ذات الأهمية الخاصة.
 - تطبيق البحث على المشافي الغير مصممة لمقاومة أحمال الزلازل والتحقق من مستوى الأداء الزلزالي لها.
 - تقييم الأداء للعناصر الغير إنسانية مثل أنظمة الطاقة والغاز والتهوية.
- التمويل:** هذا البحث ممول من جامعة دمشق وفق رقم التمويل (501100020595).

تقييم الأداء الزلزالي لمشفى القطيفة الوطني



الشكل (23) منحنى الهشاشة للجدران المحكمة بالانعطاف , $\beta=0.3$, $\theta=2.25 \text{ g}$



الشكل (24) منحنيات الهشاشة لمجموعات العناصر الإنسانية

الجدول (7) قيم وسيط لتابع الهشاشة ونسبة هامش الانهيار لمجموعات العناصر الإنسانية.

Group	Median for collapse fragility	Code-CMR
Walls Rotation	2.25	1.67
Walls Shear	1.36	1.01
Gravity Columns	1.85	1.37
Frame Columns	1.06	0.79

6-الاستنتاجات:

- عند التقييم لمستوى شدة السيناريو التصميمي وصلت نسب الانزياحات الطابقية تساوي 0.8% أكبر من القيم الموصي بها لمستوى أداء الأشغال المباشر.
- حققت جميع العناصر مستوى الأشغال المباشر على الشدة الموقعة للزلزال التصميمي عدا الأعمدة ضمن إطار الواجهة.

الرواس، الصحاوي

Damped Linear Acceleration Response Spectra. Earthquake Spectra, 30(3), pp.1087–1115. doi: <https://doi.org/10.1193/062913eqs175m>.

10. Csi. (2021). Perform Components and Elements Version 8, Computers and Structures, USA Ca.

11. FEMA, (2009). Quantification of Building Seismic Performance Factors, FEMA P-695, prepared by the Applied Technology Council for the Federal Emergency Management Agency, Washington, D.C.

12. FEMA, (2018). Seismic Performance Assessment of Buildings, Volume 1 – Methodology, Second Edition, FEMA P-58-2, prepared by the Applied Technology Council for the Federal Emergency Management Agency, Washington, D.C.

13. Haselton, C. B., Liel, A. B., Taylor-Lange, S. C., & Deierlein, G. G. (2016). Calibration of Model to Simulate Response of Reinforced Concrete Beam-Columns to Collapse. Aci Structural Journal, 113(6).

14. Hatem, Zaineh, H.E., Draji Dojcinovski and Vladimir Mihailov (2012). Re-Evaluations of Seismic Hazard of Syria. International journal of geosciences, 03(04), pp.847–855. doi: <https://doi.org/10.4236/ijg.2012.324085>.

15. Huijer, C., Harajli, M. and Sadek, S. (2015). Re-evaluation and updating of the seismic hazard of Lebanon. Journal of Seismology, 20(1), pp.233–250. doi: <https://doi.org/10.1007/s10950-015-9522-z>.

16. Kim, T., & Foutch, D. A. (2007). Application of FEMA methodology to RC shear wall buildings governed by flexure. Engineering Structures, 29(10), 2514–2522

17. Kwon, J., (2016), Strength, Stiffness, and Damage of Reinforced Concrete Buildings Subjected to Seismic Motions, University of Texas at Austin, Austin, Texas, p. 239.

تقييم الأداء الزلزالي لمشفى القبطية الوطنية

9-References:

1. Akkar, S., Sandikkaya, M.A. and Bommer, J.J. (2013). Empirical ground-motion models for point- and extended-source crustal earthquake scenarios in Europe and the Middle East. Bulletin of Earthquake Engineering, [online] 12(1), pp.359–387. doi: <https://doi.org/10.1007/s10518-013-9461-4>.
2. American Society Of Civil Engineers (2023). ASCE standard, ASCE/SEI, 41-23: Seismic Evaluation and Retrofit of Existing Buildings. Reston, Virginia: American Society Of Civil Engineers.
3. Baker, J. W. (2015). Efficient analytical fragility function fitting using dynamic structural analysis. Earthquake Spectra, 31(1), 579-599.
4. Baker, J., Bradley, B. and Stafford, P. (2021). Seismic Hazard and Risk Analysis. Cambridge University Press.
5. Bilgin, Huseyin. (2015). Generation of Fragility Curves for Typical RC Health Care Facilities: Emphasis on Hospitals in Turkey. Journal of Performance of Constructed Facilities. 30. 10.1061/(ASCE)CF.1943- 5509.0000806.
6. Bommer, J.J. (2005). On the Use of Logic Trees for Ground-Motion Prediction Equations in Seismic-Hazard Analysis. Bulletin of the Seismological Society of America, 95(2), pp.377–389. doi: <https://doi.org/10.1785/0120040073> .
7. Boore, D.M., Stewart, J.P., Seyhan, E. and Atkinson, G.M. (2014). NGA-West2 Equations for Predicting PGA, PGV, and 5% Damped PSA for Shallow Crustal Earthquakes. Earthquake Spectra, 30(3), pp.1057–1085. doi: <https://doi.org/10.1193/070113eqs184m>.
8. Budnitz, R.J., Apostolakis, G. and Boore, D.M. (1997). Recommendations for probabilistic seismic hazard analysis: Guidance on uncertainty and use of experts. OSTI OAI (U.S. Department of Energy Office of Scientific and Technical Information). doi: <https://doi.org/10.2172/479072>.
9. Campbell, K.W. and Bozorgnia, Y. (2014). NGA-West2 Ground Motion Model for the Average Horizontal Components of PGA, PGV, and 5%

الرواس، الصحاوي

27. زيود، منار. (2018). *تقييم السلوك الزلزالي للأبنية البيتونية المسلحة القائمة منخفضة الارتفاع المصممة على الأحمال الشاقولية-دراسة حالات في مدينة دمشق*, ماجستير. قسم الهندسة الإنشائية الزلزالية. المعهد العالي للبحوث والدراسات الزلزالية. جامعة دمشق. دمشق: سوريا.

تقييم الأداء الزلزالي لمشفى القطيفة الوطني.....

18. Lowes, Laura & Baker, Carson. (2018). Recommendations for Modeling the Nonlinear Response of Slender Reinforced Concrete Walls Using PERFORM-3D.
19. Mander, J. B., Priestley, M. J. N., & Park, R. E. (1988). Theoretical Stress-Strain Model for Confined Concrete. *Journal of Structural Engineering-asce*, 114(8), 1804–1826.
20. Park, H., Baek, J., Lee, J. S., & Shin, H. (2015). Cyclic Loading Tests for Shear Strength of Low-Rise Reinforced Concrete Walls with Grade 550 MPa Bars. *Aci Structural Journal*, 112(3).
21. Raed Ali Ahmad (2013). Seismic Hazard Assessment of Syria. *JSEE* Vol. 15, No. 1, 2013, 15(1), pp.1–13.
22. Rafie Nazari, Yasamin. (2017). Seismic Fragility Analysis of Reinforced Concrete Shear Wall Buildings in Canada. PhD thesis, Ottawa, Canada.
23. Shang, Q., Wang, T., and Li, J., (2020): A Quantitative Framework to Evaluate the Seismic Resilience of Hospital Systems, *Journal of Earthquake Engineering*, DOI: 10.1080/13632469.2020.1802371
24. Stafford, P.J., Strasser, F.O. and Bommer, J.J. (2008). An evaluation of the applicability of the NGA models to ground-motion prediction in the Euro-Mediterranean region. *Bulletin of Earthquake Engineering* · January 2008, 6(2), pp.149–177. doi: <https://doi.org/10.1007/s10518-007-9053-2>.
25. Terrenzi, M., Spacone, E., & Camata, G. (2018). Collapse limit state definition for seismic assessment of code-conforming RC buildings. *International Journal of Advanced Structural Engineering*, 10(3), 325–337
26. Vamvatsikos D, Cornell CA, (2002). Incremental dynamic analysis. *Earthquake Engineering and Structural Dynamics*. 31(3):491–514.